

Deep-6DPose

论文地址：<https://arxiv.org/abs/1802.10367v1>

1 创新点

(1) 提出一种仅基于rgb图片，能够端到端，无需pose refinement的、同时进行目标检测、实例分割和6d姿态估计的快速算法，前向帧率可达到10fps

(2) 基于优异的mask RCNN算法，新增一个6d姿态回归分支进行6d姿态估计，并提出一个简单的loss函数

(3) 6d姿态估计采用解耦回归方式，把3d旋转矩阵和3d平移向量解耦输出，同时为了保证可训练性，将3d旋转矩阵通过李代数Lie algebra转化表示

2 核心思想

本文算法思想非常简单。基于Mask RCNN算法，新增一个6d姿态分支，新增分支要考虑以下几个问题：

(1) 6d姿态包括3d旋转和3d平移，目前的做法都是解耦预测，作者也是采用解耦输出

(2) 3d旋转矩阵是一个特殊矩阵，如果直接进行回归，是无法训练的，需要进行转化，常用的转化方法有李代数 $so(3)$ ，欧拉角和四元数，考虑复杂性，作者采用的是 $so(3)$ ，转化为旋转向量

(3) 3d平移向量是一个 3×1 的向量，如果直接预测是可以的，但是实际上没有必要，因为我们在其他分支预测了2d边界框，通过2d边界框中心即可得到3d平移向量中的 x, y ，所以作者在3d平移向量中只预测输出 z 分量即可，加上旋转向量，6d姿态回归分支一共预测4个值即可

(4) 既然引入了新的分支，那么就需要定义loss，作者基于范数设计了一个非常简单的Loss

3 模型

3.1 网络结构

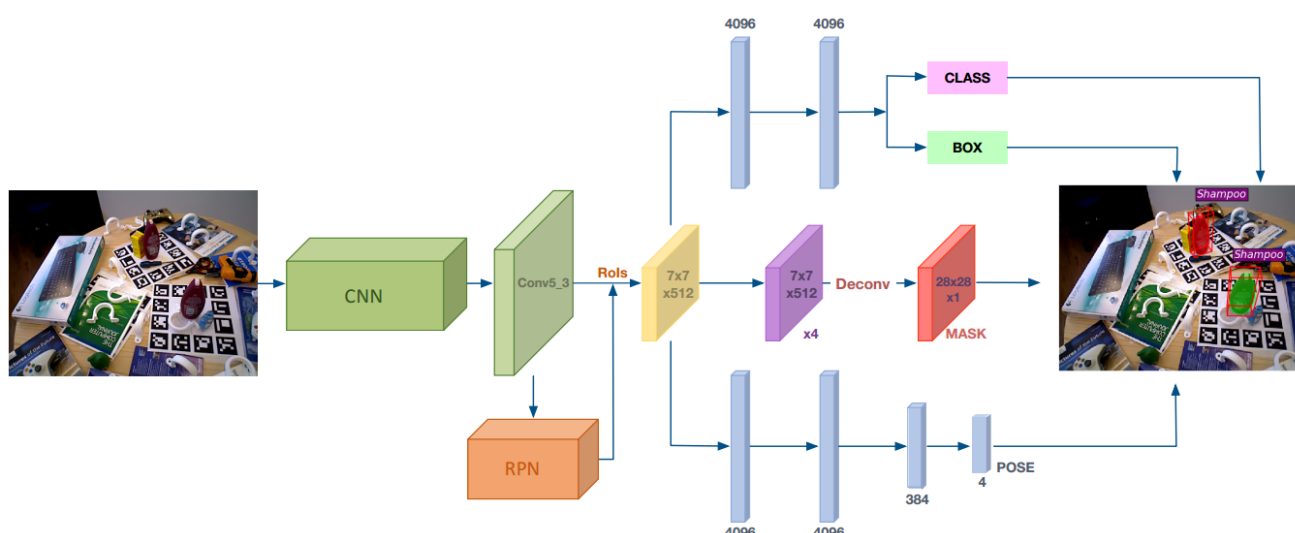


图 deep-6d模型图

由于网络结构和mask rcnn几乎不变，故不详述。

3.2 loss

$$L = \alpha_1 L_{cls} + \alpha_2 L_{box} + \alpha_3 L_{mask} + \alpha_4 L_{pose}$$

$$L_{pose} = \|r - \hat{r}\|_p + \beta \|t_z - \hat{t}_z\|_p$$

L_{cls} 分类损失函数是softmax loss, L_{box} 边界框损失函数是smooth L1, L_{mask} 掩码损失是二值交叉熵, r 是回归的旋转向量, \hat{r} 是真实旋转向量, t_z 是回归的平移向量z轴, \hat{t}_z 是真正的平移向量z轴, p 是距离范数, β 是平衡两者的权重。实际实验中作者设置的参数为: $\alpha_1, \alpha_2, \alpha_3, \alpha_4$ 为1,1,2,2,而 $p = 1, \beta = 1.5$ 。

4 训练

训练参数设置为:sgd+0.9 momentum,0:0005 weight decay,Titan X GPU ,350k iterations,每个batch为1张图片,前150k代学习率是0.001,剩下的学习率为0.0001,RPN输出的RoIs固定为2000个。前向计算时候RPN输出固定为1000个。

在预测时候,输出4维表征旋转和平移的向量后,对前3个向量使用指数罗德里格映射算法得到3d旋转矩阵,同样,在训练时候使用罗德里格映射算法将3d旋转矩阵变为旋转向量即可。而第4个维度向量是平移向量的z轴,联合2d边界框的中心点坐标,可以很容易算出3d平移向量:

$$t_x = \frac{(u_0 - c_x)t_z}{f_x}$$

$$t_y = \frac{(v_0 - c_y)t_z}{f_y}$$

其中 u_0, v_0 是2d边界框的中心点坐标, c_x, f_x, f_y 是相机内参。注意:上面原图的公式中 t_y 写错了,应该是 $t_y = [(v_0 - c_y)t_z]/f_y$.

作者所采用的训练数据集一共是2个:单目标数据集linemod和多目标数据集Tejani。在实际训练中有一个技巧:对于单目标数据集,假设每张图片中一共15个物体,但是每次我只标注其中一个物体进行训练,也就是说假设物体1在图片中,当前时刻物体1是前景,其他14个物体是背景,但是在下一次训练差不多类型的图片中,物体1是背景,其他某一个物体是前景,那么在分割中就会给网络带来混乱,也就是该物体一会说是背景,一会说是前景,导致的结果就是分割的结果不太好,且收敛速度慢。作者的解决办法是:使用当前最优秀的语义分割网络RefineNet作者预处理网络,具体操作是假设一共15个目标训练数据,对每个标注的单目标图片集训练一个RefineNet,训练

5 结果

[illegible]



左1为原始rgb图片，中间为预测的2d边界框和mask，右1为估计的6d姿态(红色框为预测值，绿色框为真实值)

6 补充内容

6.1 三维刚体运动描述方式

本节考虑：一个刚体在三维空间中的运动是如何描述的？简单来说就是由一次旋转加一次平移组成，平移是比较简单的，无需多考虑，然而旋转就比较复杂了。三维刚体旋转运动的数学表示方式一共有4种方式：旋转矩阵，旋转向量，欧拉角和4元数。下面分开讲解。

6.1.1 旋转矩阵

旋转矩阵 R 是一个 3×3 的矩阵，代表了相机的旋转。假设大家已经知道旋转矩阵的含义了，旋转矩阵有些特殊性质，事实上，它是一个行列式为1的正交矩阵。反之，行列式为1的正交矩阵也是一个旋转矩阵。所以，可以把旋转矩阵的集合定义如下：

$$SO(n) = \{R \in \mathbb{R}^{n \times n} | RR^T = I, \det(R) = 1\}.$$

$SO(n)$ 是特殊正交群（Special Orthogonal Group）的意思，后面会详细讲解。这个集合由 n 维空间的旋转矩阵组成，特别的， $SO(3)$ 就是三维空间的旋转了。通过旋转矩阵，我们可以直接谈论两个坐标系之间的旋转变换，而不用再从基开始谈起。换句话说，**旋转矩阵可以描述相机的旋转。**

考虑旋转，设某个单位正交基 (e_1, e_2, e_3) 经过一次旋转,变成了 (e'_1, e'_2, e'_3) 。那么，对于同一个向量 a ，它在两个坐标系下的坐标为 $[a_1, a_2, a_3]^T$ 和 $[a'_1, a'_2, a'_3]^T$ 。根据坐标的定义,有:

$$[e_1, e_2, e_3] \begin{bmatrix} a_1 \\ a_2 \\ a_3 \end{bmatrix} = [e'_1, e'_2, e'_3] \begin{bmatrix} a'_1 \\ a'_2 \\ a'_3 \end{bmatrix}.$$

$$\begin{bmatrix} a_1 \\ a_2 \\ a_3 \end{bmatrix} = \begin{bmatrix} e_1^T e'_1 & e_1^T e'_2 & e_1^T e'_3 \\ e_2^T e'_1 & e_2^T e'_2 & e_2^T e'_3 \\ e_3^T e'_1 & e_3^T e'_2 & e_3^T e'_3 \end{bmatrix} \begin{bmatrix} a'_1 \\ a'_2 \\ a'_3 \end{bmatrix} \triangleq R a'.$$

$$a' = R^{-1} a = R^T a.$$

由于旋转矩阵为正交阵，它的逆（即转置）描述了一个相反的旋转。显然 R^T 刻画了一个相反的旋转。

在欧氏变换中,除了旋转之外还有一个平移。考虑世界坐标系中的向量 a ,经过一次旋转(用 R 描述)和一次平移 t 后,得到了 a' ,那么把旋转和平移合到一起,有:

$$a' = R a + t.$$

通过上式,我们用一个旋转矩阵 R 和一个平移向量 t 完整地描述了一个欧氏空间的坐标变换关系。

6.1.2 旋转向量

前面已知，可以用旋转矩阵来描述旋转，但是，矩阵表示方式至少有以下几个缺点：

- (1) $SO(3)$ 的旋转矩阵有九个量，但一次旋转只有三个自由度。因此这种表达方式是冗余的
- (2) 旋转矩阵自身带有约束：它必须是个正交矩阵，且行列式为 1。当我们想要估计或优化一个旋转矩阵时，这些约束会使得求解变得更困难。

因此，我们希望有一种方式能够紧凑地描述旋转和平移。例如，用一个三维向量表达旋转。实际上也是可行的。

对于坐标系的旋转，我们知道，任意旋转都可以用一个旋转轴和一个旋转角来刻画。于是，我们可以使用一个向量，其方向与旋转轴一致，而长度等于旋转角。这种向量，称为**旋转向量**（或轴角，AxisAngle）。这种表示法只需一个三维向量即可描述旋转。

假设有一个旋转轴为 n ，角度为 θ 的旋转，显然，它对应的旋转向量为 θn ，由旋转向量到旋转矩阵的过程由罗德里格斯公式(Rodrigues's Formula)计算，具体推导不讲：

$$R = \cos \theta I + (1 - \cos \theta) n n^T + \sin \theta n^\wedge.$$

符号 $^\wedge$ 是向量到反对称的转换符，例如下式的 a 向量：

$$\mathbf{a} \times \mathbf{b} = \begin{bmatrix} i & j & k \\ a_1 & a_2 & a_3 \\ b_1 & b_2 & b_3 \end{bmatrix} = \begin{bmatrix} a_2 b_3 - a_3 b_2 \\ a_3 b_1 - a_1 b_3 \\ a_1 b_2 - a_2 b_1 \end{bmatrix} = \begin{bmatrix} 0 & -a_3 & a_2 \\ a_3 & 0 & -a_1 \\ -a_2 & a_1 & 0 \end{bmatrix} \mathbf{b} \triangleq \mathbf{a}^\wedge \mathbf{b}.$$

以上公式即可将旋转向量转化为旋转矩阵。

对于转角 θ ，有：

$$\begin{aligned} \text{tr}(\mathbf{R}) &= \cos \theta \text{tr}(\mathbf{I}) + (1 - \cos \theta) \text{tr}(\mathbf{n}\mathbf{n}^T) + \sin \theta \text{tr}(\mathbf{n}^\wedge) \\ &= 3 \cos \theta + (1 - \cos \theta) \\ &= 1 + 2 \cos \theta. \end{aligned}$$

可得：

$$\theta = \arccos\left(\frac{\text{tr}(\mathbf{R}) - 1}{2}\right).$$

以上公式即可将旋转矩阵转化为转角。对于转轴 \mathbf{n} ，由于旋转轴上的向量在旋转后不发生改变，说明

$$\mathbf{R}\mathbf{n} = \mathbf{n}.$$

因此，转轴 \mathbf{n} 是矩阵 \mathbf{R} 特征值 1 对应的特征向量。求解此方程，再归一化，就得到了旋转轴。通过以上两个公式即可将旋转矩阵转化为旋转向量，而由旋转向量得到旋转矩阵就更容易了。

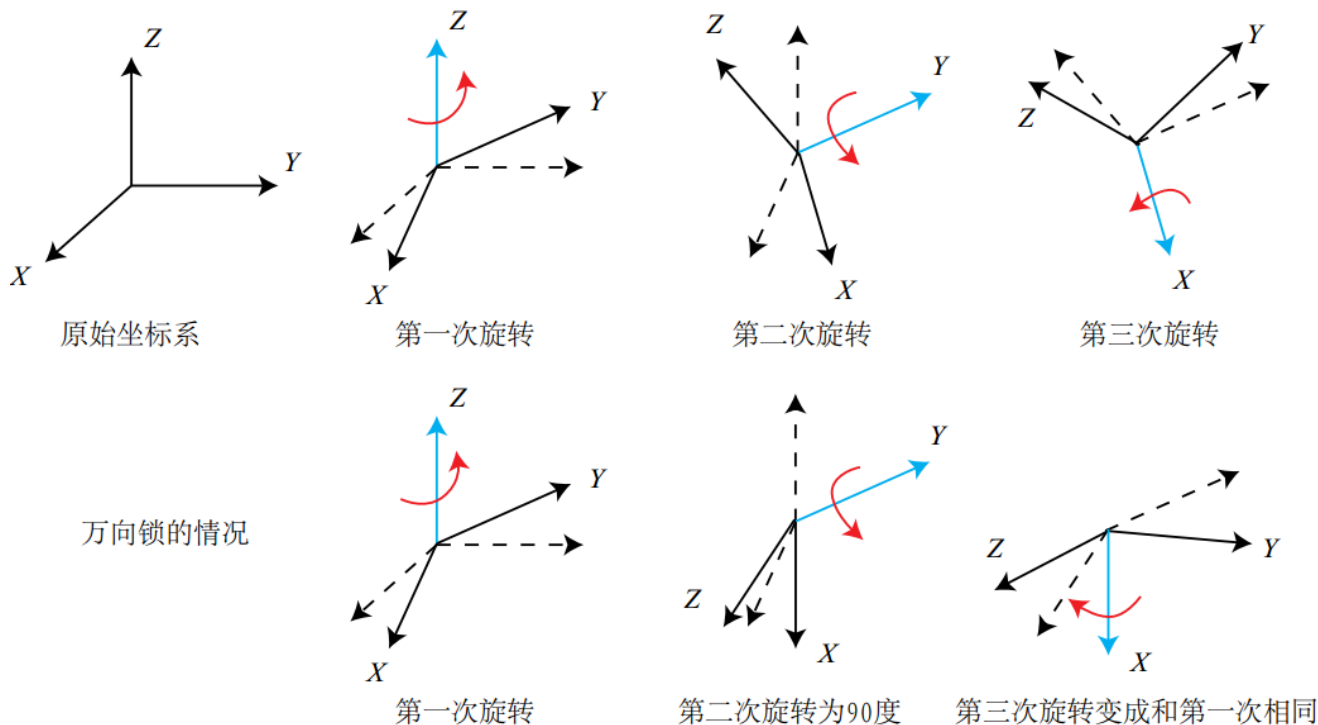
6.1.3 欧拉角

无论是旋转矩阵、旋转向量，虽然它们能描述旋转，但对我们人类是非常不直观的。当我们看到一个旋转矩阵或旋转向量时，采用欧拉角的方式是最直观的。欧拉角则提供了一种非常直观的方式来描述旋转——它使用了三个分离的转角，把一个旋转分解成三次绕不同轴的旋转。当然，由于分解方式有许多种，所以欧拉角也存在着不同的定义方法。比如说，当我先绕 X 轴旋转，再绕 Y 轴，最后绕 Z 轴，就得到了一个 XYZ 轴的旋转。同理，可以定义 ZYZ、ZYX 等等旋转方式。如果讨论更细一些，还需要区分每次旋转是绕固定轴旋转的，还是绕旋转之后的轴旋转的，这也会给出不一样的定义方式。欧拉角中比较常用的一种，便是用“偏航-俯仰-滚转”（yaw-pitch-roll）三个角度来描述一个旋转的，它等价于 ZYX 轴的旋转。具体是：

- (1) 绕物体的 Z 轴旋转，得到偏航角 yaw；
- (2) 绕旋转之后的 Y 轴旋转，得到俯仰角 pitch；
- (3) 绕旋转之后的 X 轴旋转，得到滚转角 roll。

此时，我们可以使用 $[\mathbf{r}; \mathbf{p}; \mathbf{y}]^T$ 这样一个三维的向量描述任意旋转。这个向量十分的直观，我们可以从这个向量想象出旋转的过程。注意：由旋转矩阵转化为欧拉角是不唯一的，因为在转化中需要 \arcsin ，而 $\sin 45^\circ$ 值等于 $\sin 135^\circ$ ，除非限定范围，一般欧拉角应用在人眼观察方面，优化方面通常使用四元数。

欧拉角的一个重大缺点是会碰到著名的万向锁问题（Gimbal Lock）：在俯仰角为 $\pm 90^\circ$ 时，第一次旋转与第三次旋转将使用同一个轴，使得系统丢失了一个自由度（由三次旋转变成了两次旋转）。这被称为奇异性问题，在其他形式的欧拉角中也同样存在。理论上可以证明，只要想用三个实数来表达三维旋转时，都会不可避免地碰到奇异性问题，包括旋转向量。



6.1.4 四元数

旋转矩阵用九个量描述三自由度的旋转，具有冗余性；欧拉角和旋转向量是紧凑的，但具有奇异性。而四元数表示法则不存在上述问题。

回忆我们以前学习过的复数。我们用复数集 \mathbb{C} 表示复平面上的向量，而复数的乘法则表示复平面上的旋转：例如，乘上复数 i 相当于逆时针把一个复向量旋转 90 度。类似的，在表达三维空间旋转时，也有一种类似于复数的代数：四元数（Quaternion）。四元数既是紧凑的，也没有奇异性。

一个四元数 q 拥有一个实部和三个虚部：

$$q = q_0 + q_1 i + q_2 j + q_3 k,$$

其中 i, j, k 为四元数的三个虚部。这三个虚部满足关系式：

$$\begin{cases} i^2 = j^2 = k^2 = -1 \\ ij = k, ji = -k \\ jk = i, kj = -i \\ ki = j, ik = -j \end{cases}.$$

由于它的这种特殊表示形式，有时人们也用一个标量和一个向量来表达四元数：

$$q = [s, \mathbf{v}], \quad s = q_0 \in \mathbb{R}, \mathbf{v} = [q_1, q_2, q_3]^T \in \mathbb{R}^3,$$

考虑到三维空间需要三个轴，四元数也有三个虚部，那么一个虚四元数(实部为0)对应到一个空间点。我们知道一个模长为 1 的复数，可以表示复平面上的纯旋转（没有长度的缩放），那么我们用**单位四元数**表示三维空间中任意一个旋转，假设某个旋转是绕单位向量 $\mathbf{n} = [n_x; n_y; n_z]^T$ 进行了角度为 θ 的旋转，那么这个旋转的四元数形式为：

$$\mathbf{q} = \left[\cos \frac{\theta}{2}, n_x \sin \frac{\theta}{2}, n_y \sin \frac{\theta}{2}, n_z \sin \frac{\theta}{2} \right]^T.$$

反之，我们亦可从单位四元数中计算出对应旋转轴与夹角：

$$\begin{cases} \theta = 2 \arccos q_0 \\ [n_x, n_y, n_z]^T = [q_1, q_2, q_3]^T / \sin \frac{\theta}{2} \end{cases}.$$

通过以上公式，可以对旋转矩阵、旋转向量和四元数进行相互转换。上述公式描述的是四元数转换为旋转向量，然后再转换为旋转矩阵，但是实际上可以直接将四元数和旋转矩阵进行转换：

设四元数 $\mathbf{q} = q_0 + q_1 i + q_2 j + q_3 k$ ，对应的旋转矩阵 \mathbf{R} 为：

$$\mathbf{R} = \begin{bmatrix} 1 - 2q_2^2 - 2q_3^2 & 2q_1q_2 + 2q_0q_3 & 2q_1q_3 - 2q_0q_2 \\ 2q_1q_2 - 2q_0q_3 & 1 - 2q_1^2 - 2q_3^2 & 2q_2q_3 + 2q_0q_1 \\ 2q_1q_3 + 2q_0q_2 & 2q_2q_3 - 2q_0q_1 & 1 - 2q_1^2 - 2q_2^2 \end{bmatrix} \quad (3.35)$$

反之，由旋转矩阵到四元数的转换如下。假设矩阵为 $\mathbf{R} = \{m_{ij}\}, i, j \in [1, 2, 3]$ ，其对应的四元数 \mathbf{q} 由下式给出：

$$q_0 = \frac{\sqrt{\text{tr}(\mathbf{R}) + 1}}{2}, q_1 = \frac{m_{23} - m_{32}}{4q_0}, q_2 = \frac{m_{31} - m_{13}}{4q_0}, q_3 = \frac{m_{12} - m_{21}}{4q_0}. \quad (3.36)$$

无论是四元数、旋转矩阵还是轴角，它们都可以用来描述同一个旋转。我们应该在实际中选择对我们最为方便的形式，而不必拘泥于某种特定的样子。

6.2 李群和李代数

李群和李代数在SLAM中是一个非常重要的数学基础，但是对于基于深度学习的6d姿态估计问题来说，不是很重要，但是其有助于理解旋转矩阵和旋转向量的一些性质，旋转矩阵和旋转向量的相互转化也会用于这部分数学原理。但是如果不关心的读者，只需要了解6.1节部分就可以，6.2部分可不看。

其实旋转矩阵构成了一个特殊正交群 $SO(3)$ ，而变换矩阵 T 构成了特殊欧氏群 $SE(3)$ 。

$$SO(3) = \{\mathbf{R} \in \mathbb{R}^{3 \times 3} | \mathbf{R}\mathbf{R}^T = \mathbf{I}, \det(\mathbf{R}) = 1\}.$$

$$SE(3) = \left\{ \mathbf{T} = \begin{bmatrix} \mathbf{R} & \mathbf{t} \\ \mathbf{0}^T & 1 \end{bmatrix} \in \mathbb{R}^{4 \times 4} | \mathbf{R} \in SO(3), \mathbf{t} \in \mathbb{R}^3 \right\}$$

注意：旋转矩阵也好，变换矩阵也好，它们对加法是不封闭的。换句话说，对于任意两个旋转矩阵 R_1 ， R_2 ，它们按照矩阵加法的定义，和不再是一个旋转矩阵。

4.2.1 群定义

群 (Group) 是一种集合加上一种运算的代数结构。我们把集合记作 A ，运算记作 \cdot ，那么群可以记作 $G = (A; \cdot)$ 。群要求这个运算满足以下几个条件：

1. 封闭性: $\forall a_1, a_2 \in A, \quad a_1 \cdot a_2 \in A.$
2. 结合律: $\forall a_1, a_2, a_3 \in A, \quad (a_1 \cdot a_2) \cdot a_3 = a_1 \cdot (a_2 \cdot a_3).$
3. 幺元: $\exists a_0 \in A, \quad s.t. \quad \forall a \in A, \quad a_0 \cdot a = a \cdot a_0 = a.$
4. 逆: $\forall a \in A, \quad \exists a^{-1} \in A, \quad s.t. \quad a \cdot a^{-1} = a_0.$

我们可以验证，旋转矩阵集合和矩阵乘法构成群。很容易可知，旋转矩阵是特殊正交群 $SO(3)$ 。

群结构保证了在群上的运算具有良好的性质。**李群**是指具有连续（光滑）性质的群。像整数群 \mathbb{Z} 那样离散的群没有连续性质，所以不是李群。而 $SO(n)$ 和 $SE(n)$ ，它们在实数空间上是连续的。我们能够直观地想象一个刚体能够连续地在空间中运动，所以它们都是李群。相机运动仅仅关心两种李群 $SO(3)$ 、 $SE(3)$ 和对应的两种李代数 $so(3)$ 、 $se(3)$ 。

4.2.2 李代数定义

每个李群都有与之对应的李代数。李代数描述了李群的局部性质。通用的李代数的定义如下：李代数由一个集合 V ，一个数域 F 和一个二元运算 $[\cdot]$ 组成。如果它们满足以下几条性质，称 $(V; F; [\cdot])$ 为一个李代数，记作 g 。

1. 封闭性 $\forall X, Y \in V, [X, Y] \in V.$
2. 双线性 $\forall X, Y, Z \in V, a, b \in F, \text{ 有:}$

$$[aX + bY, Z] = a[X, Z] + b[Y, Z], \quad [Z, aX + bY] = a[Z, X] + b[Z, Y].$$

3. 自反性^① $\forall X \in V, [X, X] = 0.$

4. 雅可比等价 $\forall X, Y, Z \in V, [X, [Y, Z]] + [Z, [Y, X]] + [Y, [Z, X]] = 0.$

其中二元运算被称为**李括号**。看起来蛮复杂的。但是其实转化到具体的三维空间来看，就非常简单了。三维向量 R^3 上定义的叉积 \times 是一种李括号，因为在三维空间中的2个向量叉乘，得到的新向量是垂直于这两个向量所构成的平面的，因此 $g = (R^3; R; \times)$ 构成了一个李代数。

4.2.3 李代数 $so(3)$

考虑任意旋转矩阵 R ，我们知道它满足：

$$\mathbf{R}\mathbf{R}^T = \mathbf{I}.$$

现在，我们说， \mathbf{R} 是某个相机的旋转，它会随时间连续地变化，即为时间的函数： $\mathbf{R}(t)$ 。由于它仍是旋转矩阵，有

$$\mathbf{R}(t)\mathbf{R}(t)^T = \mathbf{I}.$$

在等式两边对时间求导，得到：

$$\dot{\mathbf{R}}(t)\mathbf{R}(t)^T + \mathbf{R}(t)\dot{\mathbf{R}}(t)^T = 0.$$

整理得：

$$\dot{\mathbf{R}}(t)\mathbf{R}(t)^T = -\left(\dot{\mathbf{R}}(t)\mathbf{R}(t)^T\right)^T.$$

可以看出 $\dot{\mathbf{R}}(t)\mathbf{R}(t)^T$ 是一个反对称矩阵。联系前面将的知识点，通过引入了 \wedge 符号，将一个向量变成了反对称矩阵，同理，对于任意反对称矩阵，我们亦能找到一个与之对应的向量，把这个运算用符号 \vee 表示

$$\mathbf{a}^\wedge = \mathbf{A} = \begin{bmatrix} 0 & -a_3 & a_2 \\ a_3 & 0 & -a_1 \\ -a_2 & a_1 & 0 \end{bmatrix}, \quad \mathbf{A}^\vee = \mathbf{a}.$$

因此我们可以找到一个三维向量 $\phi(t) \in \mathbf{R}^3$ 与之对应。于是有：

$$\dot{\mathbf{R}}(t)\mathbf{R}(t)^T = \phi(t)^\wedge.$$

等式两边右乘 $\mathbf{R}(t)$ ，由于 \mathbf{R} 为正交阵，有：

$$\dot{\mathbf{R}}(t) = \phi(t)^\wedge \mathbf{R}(t) = \begin{bmatrix} 0 & -\phi_3 & \phi_2 \\ \phi_3 & 0 & -\phi_1 \\ -\phi_2 & \phi_1 & 0 \end{bmatrix} \mathbf{R}(t).$$

可以看到，每对旋转矩阵求一次导数，只需左乘一个 $\phi(t)^\wedge$ 矩阵即可。为方便讨论，我们设 $t_0 = 0$ ，并设此时旋转矩阵为 $\mathbf{R}(0) = \mathbf{I}$ 。按照导数定义，可以把 $\mathbf{R}(t)$ 在 0 附近进行一阶泰勒展开：

$$\begin{aligned} \mathbf{R}(t) &\approx \mathbf{R}(t_0) + \dot{\mathbf{R}}(t_0)(t - t_0) \\ &= \mathbf{I} + \phi(t_0)^\wedge(t). \end{aligned}$$

同时在 t_0 附近，设 ϕ 保持为常数 $\phi(t_0) = \phi_0$ ，由 $\mathbf{R}(t)$ 的导数式子(上上个公式)：

$$\dot{\mathbf{R}}(t) = \phi(t_0)^\wedge \mathbf{R}(t) = \phi_0^\wedge \mathbf{R}(t).$$

上式是一个关于 \mathbf{R} 的微分方程，而且我们知道初始值 $\mathbf{R}(0) = \mathbf{I}$ ，解之，得：

$$R(t) = \exp(\phi_0^\wedge t).$$

最终得到上述公式，注意上述公式是我们真正关心的，非常重要。我们看到，旋转矩阵 R 与另一个反对称矩阵 ϕ_0 通过指数关系发生了联系。也就是说，当我们知道某个时刻的 R 时，存在一个向量 ϕ ，它们满足这个矩阵指数关系。其实上述公式就是旋转矩阵和旋转向量转化的罗德里格旋转公式(6.1节我们是直接用了而已)，而矩阵指数正是李群与李代数间的指数/对数映射。

也就是说 ϕ ，事实上是一种李代数。 $SO(3)$ 对应的李代数是定义在 \mathbb{R}^3 上的向量，我们记作 ϕ 。根据前面的推导，每个 ϕ 都可以生成一个反对称矩阵，即 $so(3)$ 的元素是 3 维向量或者 3 维反对称矩阵：

$$so(3) = \{ \phi \in \mathbb{R}^3, \Phi = \phi^\wedge \in \mathbb{R}^{3 \times 3} \}.$$

至此，我们已清楚了 $so(3)$ 的内容。它们是一个由三维向量组成的集合，每个向量对应到一个反对称矩阵，可以表达旋转矩阵的导数。它与 $SO(3)$ 的关系由指数映射给定。

4.2.4 指数与对数映射

由于这部分推导对我们算法没有啥帮助，这里就不写了，只讲结论： $SO(3)$ 上的指数映射即为李代数 $so(3)$ ，也可以推导出罗德里格旋转公式。这表明， $so(3)$ 实际上就是由所谓的旋转向量组成的空间，而指数映射即罗德里格斯公式。通过它们，我们把 $so(3)$ 中任意一个向量对应到了一个位于 $SO(3)$ 中的旋转矩阵。反之，如果定义对数映射，我们也能把 $SO(3)$ 中的元素对应到 $so(3)$ 中，这正好就是旋转向量和旋转矩阵的相互转化。

需要注意的是：指数映射只是一个满射。这意味着每个 $SO(3)$ 中的元素，都可以找到一个 $so(3)$ 元素与之对应；但是可能存在多个 $so(3)$ 中的元素，对应到同一个 $SO(3)$ 。至少对于旋转角 θ ，我们知道多转 360 度和没有转是一样的——它具有周期性。但是，如果我们把旋转角度固定在 $\pm\pi$ 之间，那么李群和李代数元素是一一对应的。

